

## ПЕРИОДИЧЕСКАЯ СВЯЗЬ ПРЯМОУГОЛЬНЫХ ВОЛНОВОДОВ С ДИЭЛЕКТРИЧЕСКИМИ ЗАПОЛНЕНИЯМИ

Волноводы, полностью или частично заполненные веществом с диэлектрической (или магнитной) проницаемостью, отличной от единицы, играют важную роль в технике СВЧ. Примером этого служат ленточные аттенюаторы, фазовращатели, применяющиеся для специальных целей нагруженные волноводы малого сечения [2].

Определенный интерес представляет также исследование периодической связи в таких волноводах, благодаря которой осуществляется переход мощности из одних типов волн в другие, обмен мощностью между волнами элементов волноводной линии. Эти важные свойства связанных волноводов лежат в основе таких устройств, как селекторы, направленные ответвители, преобразователи, ослабители мощности и т. п. [3].

Настоящая работа посвящена исследованию связи волноводов, заполненных диэлектриками, в виде поперечных периодических щелей в общей стенке волноводов.

Рассмотрим структуру, состоящую из двух бесконечных параллельно расположенных прямоугольных волноводов, имеющих общую стенку, в которой периодически прорезаны поперечные щели одинаковой ширины. Длина щелей равна высоте общей стенки волноводов. Будем предполагать, что волноводы выпол-

нены из идеального проводника, а общая их стенка бесконечно тонкая. Среда внутри каждого волновода однородна, изотропна и область I ( $0 < x < d_1$ ) заполнена диэлектриком с проницаемостями  $\epsilon_1 \neq 1$  и  $\mu_1 = 1$ , а область II ( $-d_2 < x < 0$ ) — диэлектриком с проницаемостями  $\epsilon_2 \neq 1$  и  $\mu_2 = 1$ .

Введем систему координат, как показано на рис. 1, и исследуем электромагнитные волны типа  $H_{p0}$ , распространяющиеся в такой структуре в направлении положительной оси  $oz$ .

Периодичность структуры в направлении распространения позволяет записать искомые поля в виде

$$\begin{aligned}\vec{E}(x, z) &= \vec{E}(x, z) e^{ih_0 z}; \\ \vec{H}(x, z) &= \vec{H}(x, z) e^{ih_0 z},\end{aligned}\quad (1)$$

где  $h_0$  — постоянная распространения;

$\vec{E}(x, z), \vec{H}(x, z)$  — функции, периодичные относительно  $z$  с периодом, равным  $l$  (множитель  $e^{-i\omega t}$ , характеризующий временную зависимость, опущен).

Представим составляющую  $E_y$  в виде

$$E_y = \sum_{n=-\infty}^{\infty} E_n(x) e^{ih_n z},\quad (2)$$

где

$$h_n = h_0 + \frac{2\pi n}{l}.$$

Искомые поля должны удовлетворять уравнению Гельмгольца, граничным условиям на внешних стенках волноводов и граничным условиям на общей стенке волноводов.

Подчиняя поля поставленным требованиям, получаем:

$$E_y^{(1)} = \sum_{n=-\infty}^{\infty} b_n [e^{i\gamma_n^{(1)} x} - e^{i\gamma_n^{(1)}(2d_1 - x)}] e^{ih_n z};\quad (3)$$

$$E_y^{(2)} = \sum_{n=-\infty}^{\infty} c_n [e^{-i\gamma_n^{(2)} x} - e^{i\gamma_n^{(2)}(2d_2 + x)}] e^{ih_n z},$$

где

$$\gamma_n^{(1)} = \sqrt{k^2 \epsilon_1 - h_n^2}, \quad \gamma_n^{(2)} = \sqrt{k^2 \epsilon_2 - h_n^2},\quad (4)$$

$$b_n = c_n \frac{1 - e^{2id_2 \gamma_n^{(2)}}}{1 - e^{2id_1 \gamma_n^{(1)}}},\quad (5)$$

а  $c_n$  определяются из системы уравнений, полученной методом задачи Римана—Гильберта [1]:

$$\sum_{n=-\infty}^{\infty} x_n \left\{ \frac{|n|}{n} \chi_n \left( V_m^n - \frac{R_m}{R_\sigma^1} V_\sigma^{n1} \right) - \delta_{mn} \right\} = 0, \quad (6)$$

где

$$(m = 0; \pm 1; \pm 2; \dots) \quad x_n = c_n (1 - e^{2id_2 \gamma_n^{(2)}}) (n+s); \quad (7)$$

$$\frac{h_n l}{2\pi} = n + s; \quad (8)$$

$$\chi_n = 1 + i \frac{|n|}{n} \frac{l}{4\pi(n+s)} \left[ \gamma_n^{(1)} \frac{1 + e^{2id_1 \gamma_n^{(1)}}}{1 - e^{2id_1 \gamma_n^{(1)}}} + \gamma_n^{(2)} \frac{1 + e^{2id_2 \gamma_n^{(2)}}}{1 - e^{2id_2 \gamma_n^{(2)}}} \right] - \quad (9)$$

величина, которая с увеличением  $n$  убывает как  $\frac{\chi^2 \varepsilon}{n^2}$ , где  $\varepsilon = \max(\varepsilon_1, \varepsilon_2)$ ;  $\chi = \frac{kl}{2\pi}$ . Коэффициенты  $V_m^n$ ,  $R_m$ ,  $R_\sigma^1$ ,  $V_\sigma^{n1}$  зависят только от отношения ширины щелей решетки к ее периоду  $\frac{d}{l}$  и приведены в [1].

Система (6) однородна и имеет нетривиальное решение в том и только в том случае, когда ее определитель равен нулю:

$$\text{Det} \left\{ \frac{|n|}{n} \chi_n \left( V_m^n - \frac{R_m}{R_\sigma^1} V_\sigma^{n1} \right) - \delta_{mn} \right\} = 0 \quad (10)$$

$$(m = 0; \pm 1; \pm 2; \pm 3; \dots).$$

Последнее равенство (10) является дисперсионным уравнением структуры. Решая это уравнение для заданных геометрических параметров структуры и частоты, находим постоянные распространения исследуемых волн, затем из решения самой системы (6) определяем коэффициенты Фурье  $c_n$  и  $b_n$ , подставляя которые в выражения для полей (3), находим структуру поля.

Полученная система (10) допускает предельные переходы к случаю отсутствия связи волноводов и к случаю отсутствия их общей стенки.

Когда щели в общей стенке отсутствуют ( $d=0$ ), дисперсионное уравнение (10) распадается на два уравнения:

$$1 - e^{2id_1 \gamma_0^{(1)}} = 0; \quad 1 - e^{2id_2 \gamma_0^{(2)}} = 0,$$

откуда

$$\gamma_0^{(1)} = \frac{k\pi}{d_1}; \quad \gamma_0^{(2)} = \frac{k\pi}{d_2}; \quad (k = 1, 2, 3, \dots), \quad (11)$$

что соответствует волноводам шириной  $d_1$  и  $d_2$ .

Во втором случае, когда перегородка исчезает ( $d=l$ ), дисперсионное уравнение (10) имеет вид

$$\gamma_0^{(1)} \operatorname{ctg} d_1 \gamma_0^{(1)} + \gamma_0^{(2)} \operatorname{ctg} d_2 \gamma_0^{(2)} = 0 \quad (12)$$

и  $H_{p_0}$  — волны рассматриваемой структуры переходят в  $H_{p_0}$  — волны двухслойного волновода шириной  $d_1 + d_2 = a$  [2, 4].

Во всех полученных выражениях (1—12) при  $\epsilon_1 = \epsilon_2 = 1$  выполняется предельный переход к результатам главы 6 работы [1].

В длинноволновом приближении, когда длина волны значительно больше периода расположения щелей, дисперсионное уравнение (10) преобразуется в

$$\operatorname{ctg} \frac{2\pi d_1}{l} \Gamma + \sqrt{\frac{\epsilon_2}{\epsilon_1}} \operatorname{ctg} \frac{2\pi d_2}{l} \sqrt{\frac{\epsilon_2}{\epsilon_1}} \Gamma = \frac{1}{\Gamma \ln \cos \frac{\pi d}{2l}}, \quad (13)$$

где

$$\Gamma = \frac{\gamma_0^{(1)} l}{2\pi}.$$

Это уравнение определяет постоянную распространения  $\Gamma$  как функцию геометрических параметров структуры, не зависящую от частоты. Действительно, в длинноволновом приближении решетчатая перегородка ведет себя как полупрозрачная пленка, однородная в направлении  $z$ , и поэтому вся структура оказывается в целом регулярной.

Численное решение характеристического уравнения (13) производилось с помощью ЭВМ «Минск-22». Некоторые свойства структуры удобно рассмотреть на графике (рис. 1), где по оси абсцисс отложены значения  $\frac{d_1}{d}$ , а по оси ординат — значения  $\Gamma$ , величины, пропорциональной критической частоте. График построен для случая  $\frac{a}{l} = 5$ ,  $\frac{\epsilon_1}{\epsilon_2} = 2$ .

Как видно из рисунка, области возможного изменения критических частот волн типа  $H_{p_0}$  представляют собой криволинейные треугольники, вне которых не существует корней дисперсионного уравнения (10). Стороны треугольников получены из случаев  $d=0$  и  $d=l$ . Случаю  $d=0$  отвечают наклонные прямые, дающие зависимость  $\Gamma$  от  $\frac{d_1}{d_2}$  для второго волновода (ширина  $d_2$ ), и ветви гипербол, относящиеся к первому волноводу (ширина  $d_1$ ). Основания треугольников соответствуют случаю  $d=l$ .

На графике (рис. 1) представлены зависимости  $\Gamma$  ( $\frac{d_1}{d_2}$ ), рассчитанные для нескольких значений  $\frac{d}{l}$ : 0,4; 0,6; 0,8; 0,9.

Наряду со свойствами, аналогичными свойствам подобной структуры с  $\epsilon_1 = \epsilon_2 = 1$ , исследуемая система волноводов обладает и некоторыми особенностями.

1. Из рис. 1 следует, что, как и в случае  $\epsilon_1 = \epsilon_2 = 1$ , при появлении перегородки критические частоты  $H_{p0}$ -волн увеличиваются, но максимумы возмущения их полей смещены. Макси-

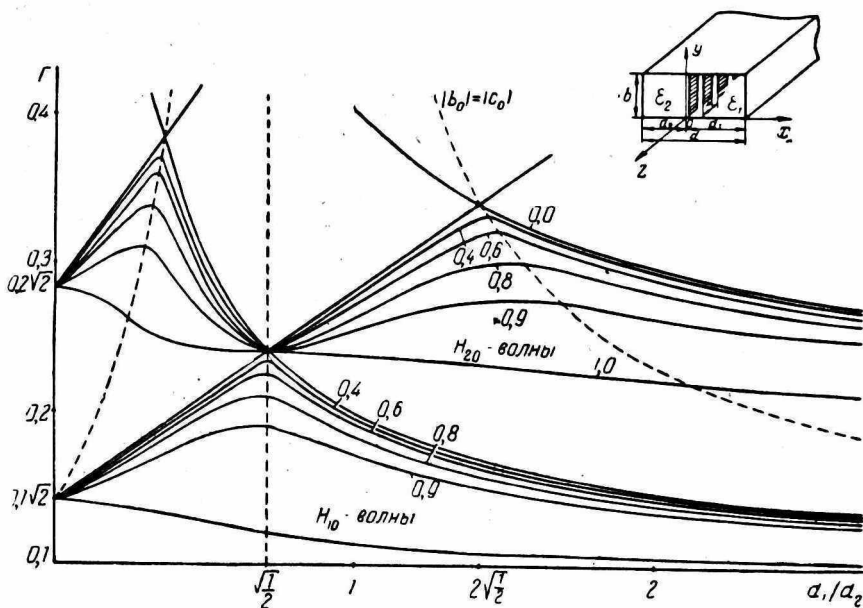


Рис. 1. Зависимость поперечной постоянной  $\Gamma = \frac{\gamma d}{2\pi}$  от соотношения размеров волноводов  $\frac{d_1}{d_2}$  при фиксированных значениях ширины щелей  $\frac{d}{l}$ , (указанных

$$\text{на графике) } \frac{\epsilon_1}{\epsilon_2} = 2; \frac{a}{l} = 5.$$

мальное возмущение  $H_{p0}$ -волны наблюдается при расположении решетки не в плоскостях

$$\frac{d_1}{d_2} = \frac{p_1}{p_2}, \text{ а при } \frac{d_1}{d_2} = \frac{p_1}{p_2} \sqrt{\frac{\epsilon_2}{\epsilon_1}},$$

где  $p_1, p_2$  — целые положительные числа, причем  $p_1 + p_2 = p + 1$ .

2. При  $\epsilon_1 = \epsilon_2 = 1$  критические частоты соседних волн строго разграничены, и за счет изменения места расположения решетки и ее коэффициента заполнения  $\left(\frac{d_1}{d_2} \text{ и } \frac{d}{l}\right)$  области их возможного существования нигде не перекрываются. В случае заполнения волноводов веществами с  $\epsilon_1 \neq \epsilon_2$ , при соответствующем выборе параметров  $\frac{d_1}{d_2}$  и  $\frac{d}{l}$  две соседние волны  $H_{p0}$  и  $H_{p+1,0}$

могут иметь равные критические частоты, причем при фиксированных  $\frac{\epsilon_1}{\epsilon_2}$  для волн высших типов область перекрытия больше. Это свойство структуры может быть использовано для подавления высших модов в многомодовых волноводах, частично заполненных диэлектриком.

3. Большой интерес представляет также исследование распределения поля между первым и вторым волноводами.

Поле волны, распространяющейся в структуре, определяется как сумма пространственных гармоник с помощью выражений (3). При условии

$$\frac{kl}{2\pi} \sqrt{\epsilon_{1,2}} < 1$$

лишь единственная нулевая гармоника представляет собой бегущую волну и определяет в основном структуру поля в поперечном сечении. Все остальные пространственные гармоники являются поверхностными волнами, экспоненциально убывающими при удалении от общей стенки волноводов. Отношение  $\frac{|c_0|}{|b_0|}$  в определенной мере характеризует распределение мощности волны между волноводами. Из соотношения (5) можно получить условие равенства  $\frac{|c_0|}{|b_0|}$  единице:

$$\Gamma = \frac{rl}{2a} \cdot \frac{\frac{d_1}{d_2} + 1}{\frac{d_1}{d_2} - \sqrt{\frac{\epsilon_2}{\epsilon_1}}} \quad (r = 0; \pm 1; \pm 2; \dots).$$

Кривые, соответствующие  $\frac{|c_0|}{|b_0|} = 1$ , нанесены штриховыми линиями на графике (рис. 1). Можно показать, что максимумы всех кривых, характеризующих зависимость  $\Gamma$  от  $\frac{d_1}{d_2}$  при фиксированных  $\frac{d}{l}$ , лежат на штриховых линиях  $\frac{|c_0|}{|b_0|} = 1$ . Таким образом, весь график оказывается разделенным на полосы, внутри которых для каждой волны отношение  $\frac{|c_0|}{|b_0|}$  либо больше, либо меньше единицы. Области, в которых  $\frac{|c_0|}{|b_0|}$  больше или меньше единицы, последовательно чередуются, и для любой волны всегда можно определить, при каких соотношениях размеров волноводов поле имеет большую интенсивность в первом или втором волноводе. Интересно отметить, что если в случае  $\epsilon_1 = \epsilon_2 = 1$  большая интенсивность поля волны  $H_{10}$  всегда достигается только в боль-

шем волноводе, то в рассматриваемой структуре это не обязательно. Например, если  $\epsilon_1 > \epsilon_2$  и размеры волноводов таковы, что

$$\sqrt{\frac{\epsilon_2}{\epsilon_1}} > \frac{d_1}{d_2} < 1,$$

то  $b_0 > c_0$  и большую амплитуду  $H_{10}$  имеет как раз в меньшем волноводе, заполненном диэлектриком с  $\epsilon_1 > \epsilon_2$ . Поэтому заполнение даже довольно узкого волновода веществом с высокой (по сравнению с другим каналом) диэлектрической проницаемостью приводит к существенному изменению распределения поля между волноводами.

4. Полученные характеристики собственных волн структуры позволяют также рассчитать длину волны пространственных биений, происходящих при подведении мощности к одному из двух связанных волноводов. Биения могут быть рассмотрены как результат интерференции возбуждающихся синфазной и противофазной собственных волн.

Как известно из теории связанных волн [3], полный переход мощности из одного волновода в другой можно осуществить, если фазовые постоянные парциальных волноводов одинаковы. В исследуемой структуре значительный обмен энергией между волнами  $H_{10}$  и  $H_{20}$  имеет место при

$$\frac{d_1}{d_2} = \sqrt{\frac{\epsilon_2}{\epsilon_1}}.$$

Пространственные биения характеризуются длиной волны биений, определяемой формулой:

$$\Lambda_b = \frac{2\pi}{\Delta h_0},$$

где  $\Delta h_0$  — разность постоянных распространения синфазной и противофазной волн.

Для случая связи волн по основной волне роль синфазной волны играет  $H_{10}$ -волна, противофазной —  $H_{20}$ -волна.

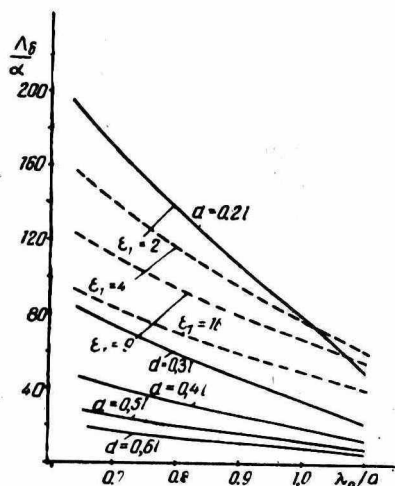


Рис. 2. Зависимость длины волны биений  $\frac{\Lambda_b}{a}$  от  $\frac{\lambda_0}{a}$  (— при различных значениях  $\frac{d}{l}$  и  $\epsilon_1=2$ ; ---- при различных значениях  $\epsilon_1$  и  $\frac{d}{l}=0,2; \frac{a}{l}=5$ ).

На графике (рис. 2) представлены зависимости длины волны биений  $\frac{\Lambda_6}{a}$  от длины волны в свободном пространстве  $\frac{\lambda_0}{a}$  при  $\pm \frac{a}{l} = 5$ . Сплошные кривые соответствуют значениям  $\epsilon_1 = 2$ ,  $\epsilon_2 = 1$  и различным значениям ширины щелей  $\frac{p}{e}$ , указанным на графике. Штриховые линии построены для фиксированного значения  $\frac{d}{l} = 0,2$  и различных значений  $\epsilon_1$ . Как видно из графиков, линейность зависимости  $\Lambda_6$  от  $\lambda_0$  сохраняется в большом диапазоне  $\lambda_0$ . Пересечение кривых при различных  $\epsilon_1$  и фиксированном  $\frac{d}{l}$  можно объяснить тем, что изменение  $\epsilon_1$  приводит как к изменению фазовых скоростей волн  $H_{10}$  и  $H_{20}$ , так и к изменению разности  $\Delta h_0$ . Кроме того, это пересечение имеет место при различных размерах волноводов.

Приведенные результаты позволяют определить длину участка связи, необходимую для ответвления заданной части мощности.

#### ЛИТЕРАТУРА

1. Шестопалов В. П. Метод задачи Римана-Гильберта в теории дифракции и распространения электромагнитных волн. Харьков, 1971. 400 с.
2. Егоров Ю. В. Частично заполненные прямоугольные волноводы. М., «Сов. радио», 1967. 204 с.
3. Миллер С. Е. Теория связанных волн и ее применение к волноводам. — Сб. «Волноводные линии передачи с малыми потерями». Вып. 4. М., 1960, с. 139—200.
4. Eberhardt N. Propagation in the Off Center E — Plane Dielectrically Loaded Waveguide. IEEE. Trans. of Microwave Theory and Technigues. vol. MTT — 15, № 5, May 1967, p. 282—289.